

湖北省电机工程学会  
學術討論會論文  
高 壓 專 業

內過電壓測量方法上的幾個問題

湖北省电力工业厅中心試驗所

1965年10月

武 汉

## 内过电压测量方法上的几个问题

随着我国电力工业的飞跃发展，220千伏的超高压电网已先后在东北、华东、中南地区形成。330千伏超高压线路建设的准备工作也在开始。众所周知，220千伏及以上超高压电网的绝缘配合是由内过电压来控制的。因此，大力开展内过电压问题的研究试验工作，有着重要而现实的意义。内过电压的实测是内过电压研究试验的重要子目，本文将对测量方法上的几个问题作一简要的介绍。

### 一、采波口问题。

测量内部过电压时要求的采波口特性和测量结线方式要由被测过电压的频率来决定。各种内过电压频率大致是：在中性点绝缘系统中的弧光接地过电压的过渡过程的频率可达一个千周以上，如资料(1)曾测得过电压为 $3\sim 3.4U_0$ ，频率达1360周；在中性点及消弧线圈接地系统中切断空载线路而发生的重燃，其过渡过程的高频分量的频率也可达几百个周，如资料(2)列出切断一条长116公里的220千伏线路则在消弧线圈电感与母线电容间发生一个330周的高频振荡；在110千伏及以上电网中操作线路（如ABC动铁），其过渡过程的振荡频率为几十千周到几百千周；切断110千伏及以上的空载变压器、串抗，较短的线路其高频分量的振荡频率可达几十千周，在变电站的母线上用刀闸切断孤立部分，由母线和短段电缆支生的振荡，其频率可达几百个千周。可见要在这些频率下

的过渡过程，必须具有特殊设计和制造的示波口，这样示波口要对所研究的频率范围内所显示的波形不畸变而又清晰。

为满足这种条件，国内和国外在过电压测量中均采用了专门设计的机械扫描电子示波口（资料3）、（4）。如苏联电工科学研究院采用了表（一）所列事为记录一次快速过程短余辉示波管，并已使用15A012A型示波管制成了六射线的机械扫描示波口。机械部份的转动速度是通过变速齿轮调节的。照相胶卷的展开分鼓式和卷式两种：鼓式展开的速度为 $\sim 20$ 米/秒；卷式展开的速度为 $0.5\sim 5$ 米/秒。展开速度是和示波口的射线显示时间相配合的。胶卷的这种展开速度除研究切断空母线的过渡现象仍嫌低外（这种情况要求30米/秒），对于其他类型的过电压测量实际上都已满足要求。

表（一） 全苏电工科学院采用的示波管参数

型号	射线数量	屏板和显板间电压 (千伏)	萤光屏的灵敏度 (毫米/伏)	长度 (毫米)	直径 (毫米)	备注
12A02B	1	-20	0.04	475	12.5	长余辉
12A02A	1	-20	0.04	475	12.5	
12A07A	2	-10	0.1~0.15	480	12.5	
15A08A	3	-10	0.06	475	15.0	
15A012A	6	-10	0.04~0.05	370	15.0	

为克服内部过电压测量设备上的困难，我们曾自制两台转鼓式机械扫描双射线电子示波口。其结构如图（一）。萤光屏像通过摄影筒与转鼓的暗箱相联结。转鼓速度一般为 $30$ 转/分，并且是可以调节的。鼓轮周长0.5米。本示波口的示波管为VFE出品的。



### 卷(一) 示波器的外形结构

BIOS22型。屏径100毫米。第一阳极电压为425～675伏。第二阳极电压为2000伏。截止电压为0～110伏。栅压为400伏。根据示波管的特性设计卷(二)的电气结线图。结线中的特美是射线的释放和闭锁是藉助于继电器Ⅰ、Ⅱ来完成，从而避免了采用闸流控制的笨锁结线并避免了闸流管控制不稳定性毛病。非外部启动时，闭合K<sub>3</sub>，调节亮度g<sub>1</sub>、g'，打开K<sub>3</sub>，射线即行闭锁。当外部启动开关K<sub>4</sub>闭合时，线圈Ⅰ动作，常闭触头3、4断开，常开触头1、2闭合。这时已充电的电容C<sub>1</sub>(结线图Ⅱ)经电阻放电，继电器Ⅱ动作，使常开触头5、6闭合，释放射线。调节电阻可以控制射线释放的时间。使用证明，由于继电器引起射线释放或闭锁的时延时少于一个周期。对于测量用空气开关操作切断空载线路的过电压或无负荷变压器的过电压，可不外加同期装置即能达到测量的目的。卷(三)是本示波器测得切断一台31500千伏空载变压器的过电压的示波图。



### 卷(三) 切断一台 31500 千伏安空载变压器的波形

使用国产 SC-1 型电码示波器我们也在测量某 35 千伏消弧线圈接地系统中切断空载线路的过电压测量做过调试。试验证明，即或在这种情况下，过电压的频率接近于工频振荡，不影响幅值的测量，但是在母线侧电压反相重燃时的高频振荡仍不能清晰正确得到反应（资料⑤）。不能正确反应高频过渡过程的主要原因是振子本身机械惯性关系。正如资料⑥指出，用电码示波器测是含有各种频率的高頻过渡过程时，将发生相角误差和幅值误差。由于振子机械惯性对时间的延迟，对各谐波的相角误差不同，致使记录的波形发生畸变。由于高頻下机械振动不能正确反应，则幅值发生误差。资料⑥的试验数据还表明，若许可测量幅值的误差在 5% 以内，则各振子允许测量的频率为：Ⅰ号 —— 700 赫芝；Ⅱ号 —— 300 赫芝；Ⅲ号 —— 500 赫芝；Ⅳ —— 200 赫芝。可见，使用振子测量高頻讯号时，不能超过其自振频率的 10%。综上所述，认为用电码示波器测量内过电压的波形是不合适的。但是在高压开关过程需要记录出现过电压过渡过程有关电流的变化（文献中指出）示波器却仍很方便，故从这一意义上讲，示波器仍可作为内过电压测量的一种辅助设备。

### 、 分压问题。

内过电压测量中一般是采用结构简单的电容分压口。电容分压口有时不需要专门设计制造，可以藉助于耦合电容口的组合，油开关、变压器套管电容的利用及绝缘子串的组合等手段得到。电容分压口的低压端应当具有足够的电容量，以保证低压侧有足够的时间常数反对引入的要测量的过渡过程以最小的影响。电容分压口的分压原理是基于电压的分布与电容成反比。电容分压口的分压比理论上与频率无关（因忽略了电感）。当忽略了电阻、电感的存在后，能引起大的误差的只有其高压端对地的电容。由于测量中往往需要通过一段电缆把分压口低压侧分出的电压引至示波口，因此给判定误差发生困难，这就是要研究与分压口连接的测量结线回路。如果不设分压口本身的电阻、电感，而因满足测量条件，需要在低压端上并上一个电阻  $R_x$  时，则其分压比为：

$$\frac{U_1}{U_2} = \left(1 + \frac{C_x}{C_1} - j \frac{1}{\omega C_1 R_x}\right) = n \text{ (1)}$$

因  $C_x > > C_1$

所以：  $n \approx \frac{C_x}{C_1} \left[1 + \left(\frac{1}{R_x \omega C_x}\right)^2\right]^{\frac{1}{2}}$

$$\approx \frac{C_1}{C_x} \left(1 + \frac{1}{R_x C_x \omega}\right) \quad \dots \dots \dots \quad (1)$$

$$\text{值误差 } \Delta U = \frac{1}{n(R_x \omega C_x)} \quad \dots \dots \dots \quad (2)$$

$$\text{角误差 } \Delta \theta = \frac{1}{R_x (n C_x)} \quad \dots \dots \dots \quad (3)$$

可见由于  $R_x$  的加入将使分压口发生值误差和角误差。从(3)、

上几段得出，角误差远大于值误差。由于  $C_x$  大小取决于采波口的灵敏度，因此只要  $C_1$  选定， $C_x$  即定。又由于电压臂的充发电时间常数必须与被测线路的充放电时间常数相等，所以  $C_x$  选定后则  $R_x$  即定。可见，这时分压口的误差只决定于被研究过程的频率。频率愈高则误差愈小。电容分压口的电容量的选择和所研究的对象及测量结线情况密切相关。对于切断空母线的弧立段和切断空载变压器过电压的试验，那就不能采取过大的电容，如资料(7)提到在 345 千伏系统的变电站母线上进行过电压的测量，分压口的电容必须限制在 55 微法以下。在 400 千伏系统测量过电压时高压臂曾采用两个 1000 微法的电容串联成 166 微法的分压口(资料 8)。在 110 ~ 220 千伏系统测量过电压时高压臂为 300 ~ 1500 微法。综合上述经验，致虑到我们的具体情况，可以认为采用电容分压口测量过电压是切实可行的。由于我国能生产出各种电压等级的耦合电容，藉助于这种电容的组合即能达到分压的目的。另一方面，国内某些电力系统里有苏联进口的变压器和油开关。这些变压器和开关中，有的其套管上有引出的端子(如 110 千伏充油型变压器也有类似的引出端子)，无疑地在实践中也可采用这些类型的套管作分压口。表(二)是苏联出品的 M10 型和国产 M7 型耦合电容量。在某些情况下由于条件限制，在 110 千伏及以下的系统中进行过电压测量还采用绳子串级或电容分压口。实测结果表明：同一电容的绝缘子单个电容量平均为 40 微法；绝缘子串的压降和无均压环时共电容量有显著的不同，有均压环时可增加

表(二)

套型式	电压 (千伏)	主极电容 $C_1$ (微法)	辅助电极 电容 $C_2$ (微法)	$K = \frac{C_2}{C_1}$	备注
M B II (苏)	110	2200	3040	1.4	
	154	235	5260	2.2	
	220	310	10300	3.3	
M T (国产)	110	59.8(旧)			总电容量 对地
		81.6(新)			

电容量 40% 以上。见表(三)。

表(三)

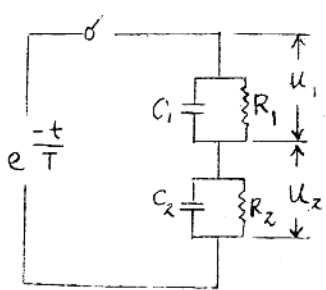
并列 串数 (串)	绝缘子连 结个数 (丁)	不带均压环 时电容量 (微法)	带均压环时 电容量 (微法)	均压环形式
单 串	3	27	54	上、下第一米直径的网状均压环
	4	25	47	
	6	19	42	
	7	15	40	
双 串	3	49	69	
	4	43	61	
	6	33	51	
	7	27	45	
三 串	3	69	106	上、下第一米直径的网状均压环
	4	58	82	
	6	43	71	
	7	33	62	
四 串	3	72	113	
	4	74	103	
	6	54	87	
	7	43	74	

最后再提一下内过电压测量中采用“阻一容”分压口的问题。当测量没有电压互感器或其他降低残余电荷装置的空载线路的过电压时，为减少测量误差，采用“阻一容”分压口是值得研究的。资料(2)列出在110～220千伏系统测量采用“阻一容”分压口，在0—1000周内，实际上分压是不变的。资料(7)还介绍了一种380～400千伏的“阻一容”分压口的一些参数。其电容量为170微法，总电阻为6兆欧姆。其结构是直接悬挂在导线上。频率在0～5千周时，误差约为1%；频率为100千周时误差增至5%。

### 三、采波口与分压口的连接

实测中，采波口应尽量靠近分压口，以减少测量误差。但是在不得不的情况下，采波口必须离开分压口一段距离时，则应用同轴电缆引线，并应采用合理的结线以减少这种误差。实际上，我们使用耦合串容口、开关、变压器套管作分压口时并非是理想的，它们本身总带有损耗和电感的，特别是高压套管的电容口其电感往往不容忽视的，也正因为这样就提出了如何使纯阻波浪过程中直流分量在采波口上获得如实反应的问题。

设 $R_0$ 、 $C_0$ 为被切断线路的电阻和电容； $R_1$ 、 $C_1$ 为分压口高压臂的电阻和电容； $R_2$ 、 $C_2$ 为分压口低压臂的电阻和电容。例如当线路切断时，分压口上对直流分量可建立下列关系：



$$C_1 \frac{dU_1}{dt} + \frac{U_1}{R_1} + C_2 \frac{dU_2}{dt} + \frac{U_2}{R_2} = 0 \quad \dots \dots \dots (1)$$

$$U_1 + U_2 = e^{\frac{-t}{RC}} \quad \dots \dots \dots (2)$$

$$U_1 = e^{\frac{-t}{RC}} - U_2 \quad \dots \dots \dots (3)$$

$$\text{令 } T = R_0 C_0$$

带入(2)

$$\text{微分(3)式得 } \frac{dU_1}{dt} = -\frac{e^{\frac{-t}{RC}}}{T} - \frac{dU_2}{dt} \quad \dots \dots \dots (4)$$

将(3)、(4)代入(1)得：

$$(C_2 - C_1) \frac{dU_2}{dt} + \left(\frac{1}{R_2} - \frac{1}{R_1}\right) U_2 = \frac{C_1}{T} e^{-\frac{t}{T}} - \frac{e^{-\frac{t}{T}}}{R_1} \quad \dots \dots \dots (5)$$

解(5)式得：

$$U_2 = \frac{C_1 R_1 R_2 - T R_2}{T(R_1 - R_2) - R_1 R_2(C_2 - C_1)} e^{-\frac{t}{T}} + K e^{-(R_1 + R_2)t} \quad \dots \dots \dots (6)$$

当  $t = 0$  时即线路切断的瞬间，此时分压回路上的电压按电容成反比分配，求得

$$K = \frac{C_1}{C_1 + C_2} - \frac{(C_1 R_1 R_2 - T R_2)}{T(R_1 - R_2) - R_1 R_2(C_2 - C_1)} \quad \dots \dots \dots (7)$$

将(7)代入(6)得：

$$U_2 = \frac{T R_2 - C_1 R_1 R_2}{T(R_1 - R_2) - R_1 R_2(C_2 - C_1)} e^{-\frac{t}{T}} + \left( \frac{C_1}{C_1 + C_2} - \frac{C_1 R_1 R_2 - T R_2}{T(R_1 + R_2) - R_1 R_2(C_2 - C_1)} \right) e^{-\frac{(R_1 + R_2)t}{R_1 R_2(C_2 - C_1)}} \quad \dots \dots \dots (8)$$

将(8)除以  $e^{-\frac{t}{T}}$  得：

$$\text{分压比的分压比} = \frac{TR_2 - C_1 R_1 R_2}{T(R_1 - R_2) - R_1 R_2(C_2 - C_1)}$$

$$+ \left( \frac{C_1}{C_1 + C_2} - \frac{C_1 R_1 R_2 - TR_2}{T(R_1 - R_2) - R_1 R_2(C_2 - C_1)} \right)$$

$$e^{-\frac{(R_1 + R_2)}{R_1 R_2 (C_2 - C_1)}} + \frac{1}{T} \quad \dots \dots \dots \quad (9)$$

从(9)式可以看出，若要分压比保持不变，则：

$$-\frac{(R_1 + R_2)}{R_1 R_2 (C_2 - C_1)} + \frac{1}{T} = 0$$

因  $R_1 \gg R_2$ ;  $C_2 \gg C_1$ .

$$\text{所以 } T = \frac{1}{R_2 C_2} = \frac{1}{R_0 C_0} = \frac{1}{\omega d_0} \quad \dots \dots \dots \quad (10)$$

$d_0$  表示线路阻尼率，一般为 3% - 5%。

按  $R_2$  值即电容分压比低压带内反激直流通量必须的电阻值。实际工作中，应当先测定所用低电压容的本身的电阻后再按(10)式配以适当的电阻。

另一种情况是：当示波器心须经过一段电缆与分压口联结，则采用图(6)（资料 10）的结线比较合适。这种情况下，对频率不很高的过渡过程，电缆段可视作集中电容， $C_1$ 、 $C_2$ 上的电压仍成反比分配。但对于高频的过渡过程，此时电缆段应以波阻抗处理。在前一种情况下电压的分配为：

$$\frac{U_1}{U_2} = \frac{C_1}{C_1 + C_2} \quad (11)$$

当  $C_1 + C_2 = C_3 + C_4$  时

$$\text{则 } \frac{U_2}{U_1} = \frac{C_1}{Z(C_1 + C_2)} U_1 \quad (1)$$

在后一种情况下，若作用的电压幅值为  $U_1$  的直角波，由于

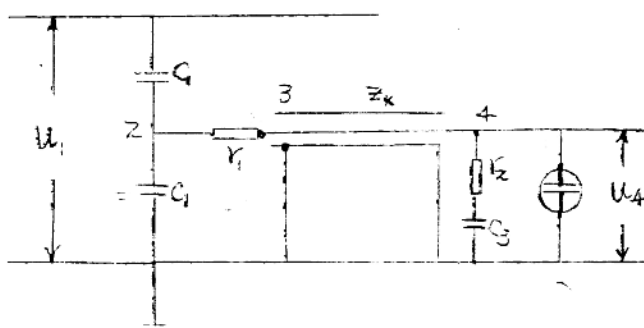
$$Y_1 = Y_2 = Z_k \quad (Z_k \text{ ---- 电纳波阻})$$

$$\text{则 } U_3 = U_4 = \frac{1}{Z} U_1 \quad U_2 = U_1 \cdot \frac{C_1}{Z(C_1 + C_2)} \quad (2)$$

从 (1)、(2) 可见，当  $C_1 + C_2 = C_3 + C_4$   $Z_k = Y_1 = Y_2$  时则在极高频率和极低频率下都能保持同样的介电比，这也就是图(六)独特之处。这种结线下所能许可采用的电纳长度见表(四) (资料 4)。

表(四)

	上 限 频 率 (千 赫)						
	3000	600	300	150	60	30	15
不同 $Z$ 下允许的电纳 度 (米) $Z \leq 100 \text{ PF}$	1	5	10	20	50	100	200
$Z \geq 100 \text{ PF}$	2	10	20	40	100	200	400



图(六)

#### 四、测量仪的电源及开关操作和示波器启动的同期问题

内过电压测量时在系统进行的操作将使母线出现强烈的振荡，因而影响到测量仪的电源的稳定性。为解决这一问题某些研究者采取自备蓄电池、柴油发电机作为测量仪的电源（资料 9、11）。

为了在同一试验操作中能记录试验操作前及操作过程中的全部过渡过程，因此必须解决开关的跳闸和示波器启动的同期问题。同期装置可用机械接点的闭合（如继电器）也可利用潮流管理控制（资料 7、11）。在区域性系统试验，有时操作地点远离示波器，这时就需要采用无线电或专门的通讯线来启动示波器（资料 11）。我们实测中采用的同期装置是藉助于继电器接点的闭合如图（七）所示。继电器的时限配合以开关实测跳、合闸时间为依据。示波器的启动先于开关的跳、合闸  $1 \sim 2$  周波。如开关的全断时间为 0.2 秒，跳闸时间为 0.14 秒，则要满足操作过程讯号的发送要求：合闸时，整定为 0.68 秒；跳闸时，整定在 0.05 秒， $t_2$  整定在 0.37 秒；弧光接地时，整定在 0.68 秒， $t_2$  整定在 0.1 秒。三种情况下时限配合如下：

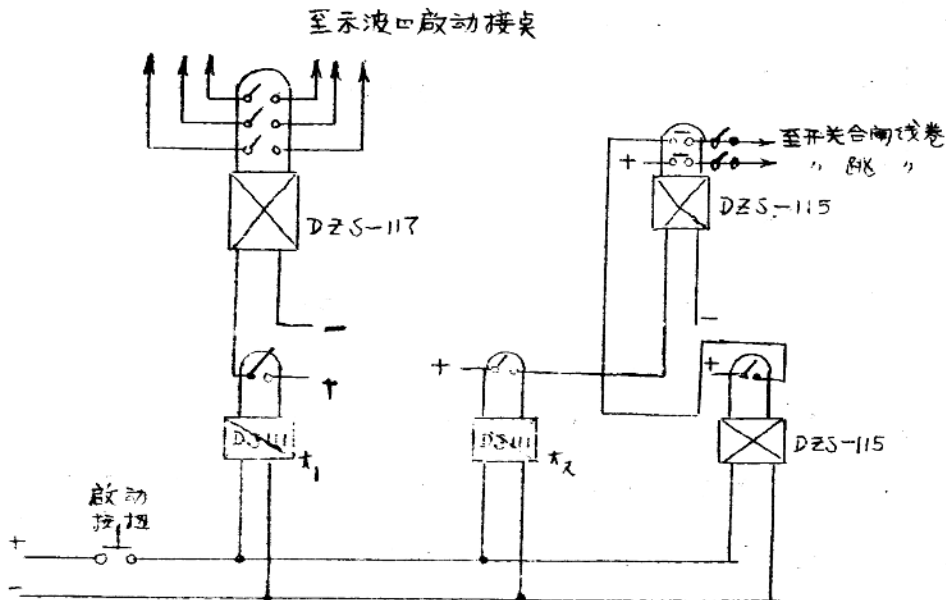
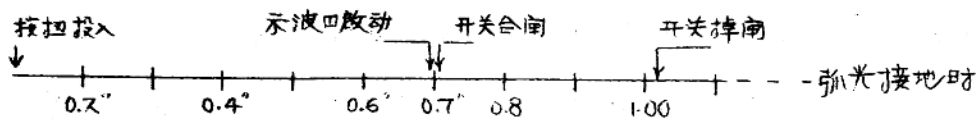
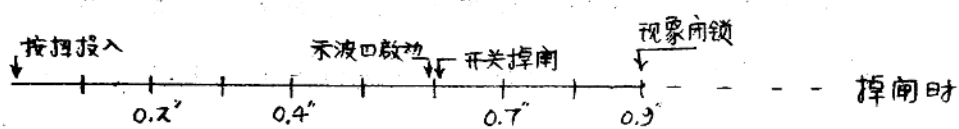
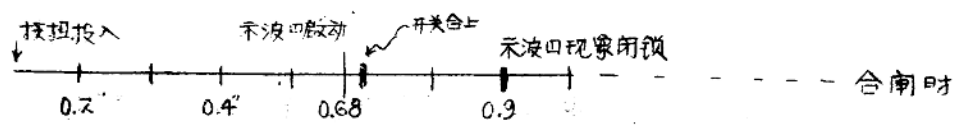


图 15-2) 开关操作和示波凹启动的同期装置

1. 在过电压实测中必须采用机械扫描示波管。建议有关部门研究试制这种类型的多射线示波管，以满足试验研究工作的需要。
2. 采用电容分压口时必须使低压屏上的时间常数与线路的时间常数相等，以使直流分量能如实地在示波器上得到反应。示波口与分压口之间的距离应尽量短，以减少测量误差。
3. 为进一步开展内过电压的实测工作，设计合乎测量内过电压的分压口是值得研究的课题。
4. 测试实验中测试仪器的电源应当给予足够的重视，必要时应采用自备电源。

### 参考文献

1. 消弧线圈试验中的异常现象。

水利电力部技术改造局

一九五九年十一月

2. 电网过电压。H·拔茨著

沈知津译

中国工业出版社出版

一九六五年九月

3. ПУБЛИЧН А.М., ЕРЕМН В.И ЗАЙЧЕВ К.А.

ТАГАРНИКОВА Н.А., ТОПЧИЕВ Г.М. НОВЫЕ  
ПРИБОРЫ ДЛЯ ИЗМЕРЕТЕЛЬНЫХ УСТРОЙСТВ

ВЫСОКОГО НАПРЯЖЕНИЯ. «ВЕСТИ ЭЛЕКТРО-

ПРОФЕССИИ» 1962 № 2 14—49 (РЖЭ. 1962 II E 95)

4. Gert R. Jirkulj, Kalousek V vyskicil V,  
Statistical surveys of overvoltages  
the Co-ordination of insulation  
between phases, and the electric  
strength to switching surges  
CIGE, 1962 Rep 415.
5. 消弧线圈补偿网络中切断空停线路的过电压实测结果  
分析 湖北省电力厅中心试验所 65.7.
6. 高压技术文集 P244—P246 水利电力出版社 59
7. Внешние перенапряжения в  
электрических сетях высокого на-  
пряжения переменного тока  
1961—1963. Москва 64.
8. АКОИНА А.А Исследование внешних  
перенапряжений и условия работы  
вакуумных выключателей на электропере-  
газе 400 кВ Куйбышевская Т.Э.С  
— Москва «Энергостандарт» 57. № 11
9. Jancke G Sandströmu. Field testing  
400 kV circuit breakers. «Electr-  
Engny» 1953, 72 № 11 1015—1020

10. Високовольтное испытательное  
оборудование и измерения 1960
11. Zimmerman C., P. Dillard j K  
switching Surges investigated by  
joint program «electr. world» 1960.

154 № 13 70-71

12. АРТЕМЬЕВ Р.Е. Белаков Н.Н. Бурмаде  
орг В. В штур с.с уровня внут-  
ренних перенапряжений в Сетях  
ио — 220 кв «Электр станицы»

1962. № 11